

# Mo 原子嵌入对 C<sub>36</sub> 结构和性能的影响 \*

王丽平 韩培德 贾虎生 许并社

(太原理工大学材料科学与工程学院 太原 030024)

**摘要** 用密度泛函方法采用 GGA/PW91 基组对具有 D<sub>6h</sub> 对称性的 C<sub>36</sub> 及其衍生物 Mo@C<sub>36</sub> 进行结构优化和性能计算, 研究 Mo@C<sub>36</sub> 稳定构型、存在的可能性及稳定性, 以及 Mo 掺杂对 C<sub>36</sub> 结构及性能的影响。结果表明, Mo 位于 C<sub>36</sub> 主轴上偏离中心约 0.1 nm 时, Mo@C<sub>36</sub> 能量最低, 结构最稳定; Mo 掺杂引起笼的局部畸变, 但 Mo@C<sub>36</sub> 仍保持完整笼型结构, 其稳定性比 C<sub>36</sub> 有所提高。Mo 原子嵌入 C<sub>36</sub> 使其禁带宽度增大, 导电性及化学反应活性降低; 费米能级下降, 但仍处于禁带之间, 二者均属半导体性质的材料。C<sub>36</sub> 结构及性能的变化与 Mo 所处的位置及 Mo 与 C<sub>36</sub> 笼之间的电子迁移有关。

**关键词** 材料科学基础学科, C<sub>36</sub>, Mo@C<sub>36</sub>, 密度泛涵, 电子结构

**分类号** TB321

**文章编号** 1005-3093(2006)04-0431-04

## Influence of Mo atom dope on structure and properties of C<sub>36</sub>

WANG Liping HAN Peide JIA Husheng XU Bingshe\*\*

(College of Materials Science and Engineering, Taiyuan University of Technology, Taiyuan 030024)

\* Supported by National Natural Science Foundation of China No.20471041 and No.90306014.

Manuscript received July 18, 2005; in revised form May 6, 2006.

\*\* To whom correspondence should be addressed, Tel:(0351)6018843, E-mail: xubs@public.ty.sx.cn

**ABSTRACT** Geometries of C<sub>36</sub> (D<sub>6h</sub> symmetry) and Mo@C<sub>36</sub> were optimized at GGA/PW91 level using DFT approach. Structure, stability and existence of Mo@C<sub>36</sub> were discussed; influence of the dope on structure and properties were studied. Results indicate that the energy of Mo@C<sub>36</sub> is lowest and Mo@C<sub>36</sub> is most stable when Mo is located on Z-axis, off the center about 0.1 nm. Though the dope causes local deformation, Mo@C<sub>36</sub> keeps complete cage structure. Mo@C<sub>36</sub> are more stable than C<sub>36</sub> and it has possibility of existence. Band gap is widened and conductivity and chemical reactivity is reduced. Both C<sub>36</sub> and Mo@C<sub>36</sub> can be semi-conductor material. The change of structure and properties of C<sub>36</sub> are related to location of Mo and electron transfer between dopant and cage, respectively.

**KEY WORDS** foundational discipline in materials science, C<sub>36</sub>, Mo@C<sub>36</sub>, DFT, electronic structure

1985 年, Kroto 等在实验中检测到了 La@C<sub>60</sub> 的质谱信息 [1]。内嵌式金属富勒烯具有许多特殊性质, 在电子学、光学、电磁学、医药学等领域有广阔应用前景 [2~4]。近年来, 金属富勒烯的研究主要集中于碱金属、碱土金属和部分过渡金属内包于较大碳数的富勒烯, 如 M@C<sub>60</sub>(M=Na, K, La, Ca), M@C<sub>80</sub>(M=Yb, La), M@C<sub>82</sub>(M=Yb, La, Ca, Dy), M@C<sub>84</sub>(M=Yb, Y, Sc), M@C<sub>88</sub>(M=Ca, La)<sup>[5~12]</sup> 等。C<sub>36</sub> 是容易内嵌原子或分子的最小富勒烯, 其五

元环的相邻, 使其笼曲率增加, 应变能增大, 具有非同寻常的电子性能和分子成键<sup>[13]</sup>。1998 年, Piskoti 等在原有合成 C<sub>60</sub> 工艺的基础上, 找到了 C<sub>36</sub> 固体的制取—纯化方法, 制得了 D<sub>6h</sub> 构型的 C<sub>36</sub> 饱和溶液、薄膜以及多晶粉末<sup>[14]</sup>。研究表明, C<sub>36</sub> 金属包合物可能具有良好导电性, 甚至成为超导材料<sup>[14]</sup>。目前, 已经研究的 M@C<sub>36</sub> 主要有 Li@C<sub>36</sub>、Na@C<sub>36</sub>, K@C<sub>36</sub>, Mg@C<sub>36</sub>, Ca@C<sub>36</sub>, Be@C<sub>36</sub><sup>[13~17]</sup> 等。研究表明, 嵌入的碱金属或碱土金属原子均可稳定存在于 C<sub>36</sub> 中心; 最低未占轨道 (LUMO) 的简并度有所增加; 能隙变大, 化学反应活性降低等<sup>[13~17]</sup>。本文采用 GGA/PW91 密度泛涵方法对具有 D<sub>6h</sub> 对称性的 C<sub>36</sub> 进行结构全优化, 并将过渡金属 Mo 原子嵌入优化后的 C<sub>36</sub> 笼内, 研究 Mo@C<sub>36</sub> 稳定构型、存在的可能性和稳定性, 以及 Mo 掺杂对 C<sub>36</sub> 电子结构及性

\* 国家自然科学基金 20471041 和国家自然科学基金重大研究计划 90306014 资助项目. 973 课题 (2004CB217808)  
2005 年 7 月 18 日收到初稿; 2006 年 5 月 6 日收到修改稿.  
本文联系人: 许并社, 教授

能的影响。

### 1 计算方法

图1、图2所示的C<sub>36</sub>分子结构具有D<sub>6h</sub>对称性，其笼型由12个五元环和8个六元环组成。其中垂直于主轴(图2中Z轴)的上下两个六元环为平面六边形，平行于主轴的六个六元环为扭曲六边形；所有五元环结构都相同，均为扭曲五边形<sup>[13]</sup>。本文先对具有D<sub>6h</sub>对称性的C<sub>36</sub>进行了结构全优化，以确定能量最低的几何构型。在此基础上，再对Mo原子内嵌入优化后的C<sub>36</sub>笼所形成的衍生物Mo@C<sub>36</sub>进行了结构全优化，计算Mo原子处于笼内不同位置时系统的能量，以确定Mo@C<sub>36</sub>的最优构型。以上计算均采用以密度泛函(DFT)为理论基础的Dmol<sup>3</sup>模块，具体算法为GGA/PW91，所采用的交换关联势为Perdew Wang(1991)。在以上计算结果的基础上，采用DFT平面波赝势为理论基础的CASTEP模块(从头算法)对优化后的C<sub>36</sub>和Mo@C<sub>36</sub>采用GGA/PW91算法进行能带、态密度等的计算。

### 2 结果与讨论

#### 2.1 C<sub>36</sub>及Mo@C<sub>36</sub>的结构分析

采用DFT方法对具有D<sub>6h</sub>对称性的C<sub>36</sub>进行结构优化(图2)，其键长和键角的变化量列于表1。结果表明，优化后四种键的键长均变小，四种键之间的三个键角也均略有增大。与C<sub>36</sub>相比，Mo原子的嵌入引起了Mo@C<sub>36</sub>键长的变化，除了每两个五边形共边的键长略变小(图1中b)，其余平面六边形的键、

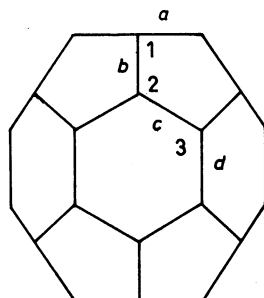


图1 C<sub>36</sub>结构模型

Fig.1 Structural model of C<sub>36</sub>

扭曲六边形与五边形共边的键、扭曲六边形共边的键(图1中a, c, d)，其长度均略有增大。同时，Mo@C<sub>36</sub>的键角1有所增大，2有所减小。键长和键角变化的原因是Mo掺杂引起了笼的局部畸变，并最终使Mo@C<sub>36</sub>的长径变小，短径变大，笼向稳定的球形结构转变。但是，局部畸变并未破坏其笼型结构，Mo@C<sub>36</sub>保持完整笼状结构(图3)。

将Mo原子分别置于优化后的C<sub>36</sub>笼处于对称位置的两个六元环中心(图2实线)和两个五元环中

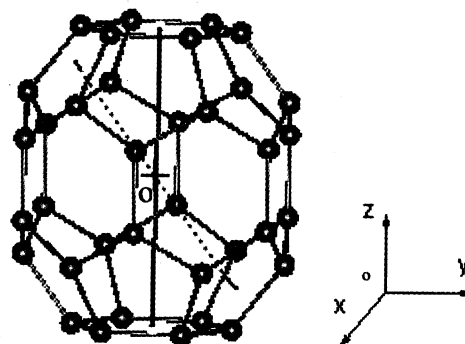


图2 计算中Mo原子的占位：实线为六元环中心连线，虚线为五元环中心连线

Fig.2 Locations of Mo atom in caculating: solid line connecting two hexagonal rings, dashed line connecting two pentagonal rings

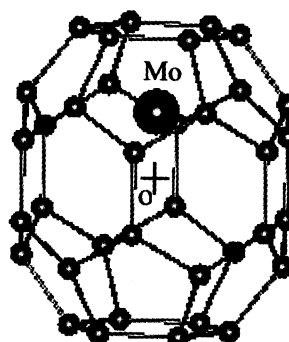


图3 Mo原子在C<sub>36</sub>中的稳定位置

Fig.3 Stable location of Mo atom in C<sub>36</sub> cage

表1 C<sub>36</sub>及Mo@C<sub>36</sub>优化结果  
Table 1 Optimized C<sub>36</sub> and Mo@C<sub>36</sub>

Molecular	Bond length/nm				Bond angle/°		
	a	b	c	d	1	2	3
C <sub>36</sub>	0.1435	0.1502	0.1438	0.1438	107.428	107.356	118.120
Optimized C <sub>36</sub>	0.1432	0.1485	0.1413	0.1413	108.877	107.493	120.000
Mo@C <sub>36</sub>	0.1469	0.1479	0.1511	0.1511	110.836	106.221	120.000

心连线上(图 2 虚线)的不同位置后进行结构优化。其中置于六元环中心连线上的计算结果如图 3 和图 4 所示。由图 4 可以看出, 该能量曲线是关于笼中心对称的。Mo 原子处于 Z 轴不同位置时, Mo@C<sub>36</sub> 的能量在距离笼中心约 0.1 nm 处达到最低, 并且愈靠近中心, 能量值愈高, 在距中心约 0.05 nm 处达到最高, 随后急剧下降, 直到中心处能量达到另一低点。Mo 原子位于五元环中心连线上不同位置的能量, 在偏离中心约 0.07 nm 处达到最低, 而该能量值要高于图 4 中最稳定位置的值。以上结果表明, Mo@C<sub>36</sub> 中 Mo 原子的稳定位置在主轴上偏离中心约 0.1 nm 处, 这一结果有别于文献 [15~17] 中碱金属和碱土金属在笼中心位置最稳定的结果。

## 2.2 C<sub>36</sub> 和 Mo@C<sub>36</sub> 的能量和电子结构

图 5 为采用 CASTEP 模块 GGA/PW91 基组计算的 C<sub>36</sub> 及 Mo@C<sub>36</sub> 的能带结构、态密度。由图 5 可见, C<sub>36</sub> 的费米能级大约处于禁带的中间位置附近,

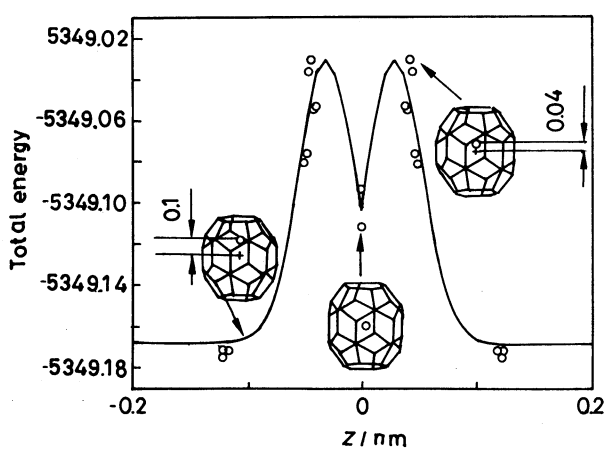


图 4 Mo@C<sub>36</sub> 能量随 Mo 原子在 Z 轴不同占位时的变化曲线

Fig.4 Curve of total energy of Mo@C<sub>36</sub> vs location of Mo atom on Z-axis

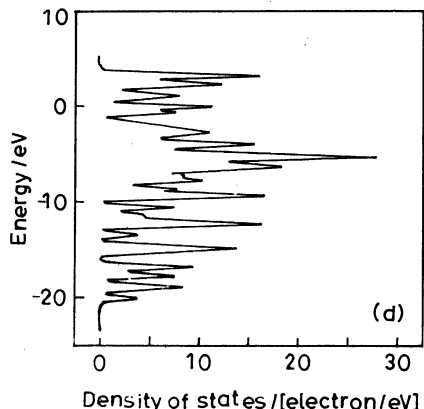
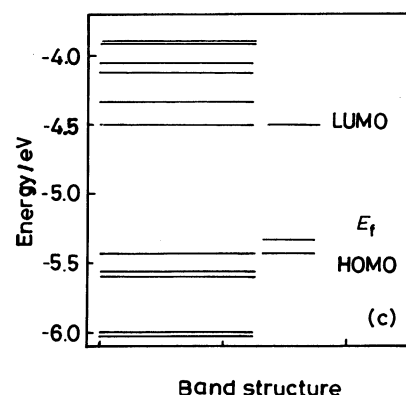
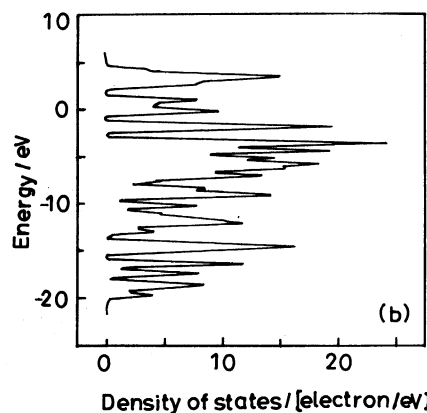
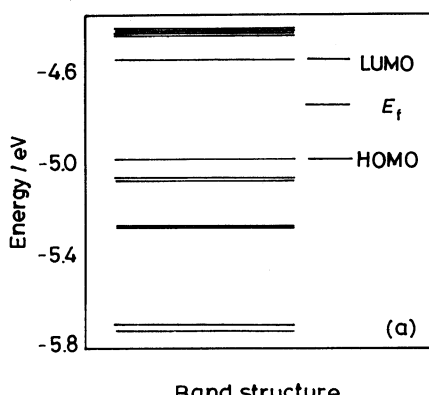


图 5 C<sub>36</sub> 及 Mo@C<sub>36</sub> 的态密度及前沿轨道附近能级图

Fig.5 Frontier molecular orbital band structure and density of states of C<sub>36</sub> and Mo@C<sub>36</sub> (a) band structure of C<sub>36</sub>, (b) density of states of C<sub>36</sub>, (c) band structure of Mo@C<sub>36</sub>, (d) density of states of Mo@C<sub>36</sub>

表 2  $C_{36}$  及  $Mo@C_{36}$  的能量及电子结构计算结果 (a.u.)  
Table 2 Energy and electronic structure of  $C_{36}$  and  $Mo@C_{36}$

Energy	Total	LUMO	HOMO	$\Delta E$	$E_f$
$C_{36}$	-1371.2854	-0.1678	-0.1849	0.0171	-0.1765
$Mo@C_{36}$	-5349.1715	-0.1656	-0.2016	0.0360	-0.1985
$E(Mo@C_{36}-Mo)$					-1371.5375

其禁带宽约为 0.467 eV. 于是, 由于能隙较小, 当  $C_{36}$  固体中掺有杂质或者受到热激发后, 少数电子会从价带迁移到导带, 而产生导电现象. 可见  $C_{36}$  的能级图表现出本征半导体的特征. 与  $C_{36}$  相比, Mo 原子的嵌入使  $Mo@C_{36}$  的最高占位轨道 (HOMO) 有所下降, 而最低未占轨道 (LUMO) 略有上升, 最终形成了宽度大约 0.98 eV 的能隙. 同时, 其费米能级也下降到了最高占位轨道 (HOMO) 的附近. 这一变化趋势与碱金属嵌入  $C_{36}$  相的情况一致, 但  $Mo@C_{36}$  的能隙值更大一些 [15]. 因此,  $Mo@C_{36}$  的能隙比  $C_{36}$  明显增大, 导电性及化学反应活性降低. 这个结果是由于 Mo 与  $C_{36}$  之间发生了电子迁移, 引起了电子分布的变化, 最后使能级和态密度与  $C_{36}$  本体均有所不同. 同时, 从其能级图可以看出, 虽然费米能级有所下降, 但仍处于禁带之间,  $Mo@C_{36}$  的能级图依然具有半导体的特征. 因此,  $Mo@C_{36}$  和  $C_{36}$  均可成为良好的半导体.

表 2 为采用 Dmol<sup>3</sup> 模块 GGA/PW91 基组计算的  $C_{36}$  以及  $Mo@C_{36}$  能量和电子结构. 由表 2 可以看出, Mo 原子嵌入  $C_{36}$  后所形成的  $Mo@C_{36}$  及  $C_{36}$  本体均为吸热体系, 在热力学上是稳定的. 但是,  $Mo@C_{36}$  系统的总能量剔除内嵌原子 Mo 的影响后, 比  $C_{36}$  本体的低. 因此, 在理论上  $Mo@C_{36}$  比  $C_{36}$  更为稳定, 即 Mo 原子的嵌入提高了体系的稳定性.

### 3 结 论

过渡金属 Mo 原子嵌入  $C_{36}$  形成的衍生物  $Mo@C_{36}$  与大多数碱金属或碱土金属嵌入  $C_{36}$  的情况不同.  $Mo@C_{36}$  仍保持完整笼型结构, 但 Mo 的稳定位置不是笼的中心, 而是位于其主轴上偏离中心约 0.1 nm 处. Mo 嵌入  $C_{36}$  有利于提高  $C_{36}$  本体的稳定性、使禁带宽度增大、导电性及化学反应活性降

低. Mo 嵌入  $C_{36}$  使费米能级降低, 但仍处于禁带之间.  $Mo@C_{36}$  与  $C_{36}$  均具有半导体性质.

### 参 考 文 献

- 1 J.R.Heath, S.C.O'Brien, Q.Zhang, Y.Liu, R.F.Curl, H.W.Kroto, F.K.Tittel, R.E.Snally, J. Am. Chem. Soc., **107**, 7779(1985)
- 2 A.F.Hebard, M.J.Rosseinsky, R.C.Haddon, D.W.Murphy, S.H.Glarum, T.T.M.Palastra, A.P.Ramirez, A.R.Kortan, Nature, **350**, 600(1991)
- 3 M.G.Mitch, S.J.Chase, J.S.Lannin, Phys. Rev. Lett., **68**, 883(1992)
- 4 DONG Bin, ZU Jifeng, GAO Yachen, SONG Yinglin, LEI Mingkai, Chinese Journal of Materials Research, **18**, 668(2004))  
(董斌, 祖继锋, 高亚臣, 宋瑛林, 雷明凯, 材料研究学报, **18**, 668(2004))
- 5 S.W.McElvany, J. Phys. Chem, **96**, 4935(1992)
- 6 Tom anek D, Li Y. S., Chem. Phys. Lett., **243**, 42(1995)
- 7 Nick E. Tran, J.J.Lagowski, Carbon, **40**, 939(2002)
- 8 Shinohara H., Sato H., Ohkohchi M., Ando Y., Kodama T., Shida T., Kato T. & Saito Y., Nature, **357**, 52(1992)
- 9 Suzuki S., Kawata S., Shiromaru H., Yamauchi K., Kikuchi K., Kato T., Achiba Y., J. Phys. Chem., **96**, 7159(1992)
- 10 Xu Z., Nakane T., Shinohara H., J. Am. Chem. Soc., **118**, 11309(1996)
- 11 Zhang Y., Shi Z.J., Hao C., Xu J.X., He X.R., Gu Z.N., Acta Phys.-Chim. Sin., **20**, 573(2004)
- 12 Liu S.Y., Sun S.Q., Journal of Organometallic Chemistry, **599**, 74(2000)
- 13 Grossman J.C., Côté M., Louie S.G. & Cohen, M.L. Bull. Am. Phys. Soc., **42**, 1576(1997)
- 14 C.Piskoti, J.Yarger, A.Zettl, Nature, **393**, 71(1998)
- 15 Li J.J., Huang X., Wu L.M., Zhang Y.F., Wu K.C., Acta Chim. Sin., **58**, 319(2000)
- 16 Huang X., Li J.J., Zhang Y.F., Chinese J. Struct. Chem., **19**, 64(2000)  
(黄昕, 李俊钱, 章永凡, 结构化学, **19**, 64(2000))
- 17 Jeffrey C. Grossman, Michel Côté, Steven G. Louie, Marvin L. Cohen, Chem. Phys. Lett., **284**, 344(1998)